

СПИН-ТОРСИОННЫЕ ПОЛЯ И ТЕХНОЛОГИИ.2

Шипов Г.И.

<http://shipov.com> , <http://shipov-vacuum.com>

1.Торсионное материаловедение.

Независимо от торсионных исследований в России, подобные работы ведутся и в Америке . Наиболее известны торсионные генераторы Р. Ройя и Дж. Хатчисона. Работы этих исследователей выходят за рамки торсионной металлургии и позволяют исследовать изменение структуры не только металлов, но и других материалов таких, как соли, пластмассы, жидкости и т.д.

Согласно уравнению Такабаяси-Маделунга (2), воздействовать на спины вещества можно магнитной компонентой H электромагнитного излучения. На этом основаны исследования Р.Ройя и Дж. Хатчисона.

Рустум Рой является профессором государственного университета Пенсильвании (США) [1], в котором он много лет руководит лабораторией Материаловедения. На рис.1 слева представлен генератор Ройя, в котором в качестве источника торсионного поля используется *магнетрон* от микроволновой печи промышленного производства.

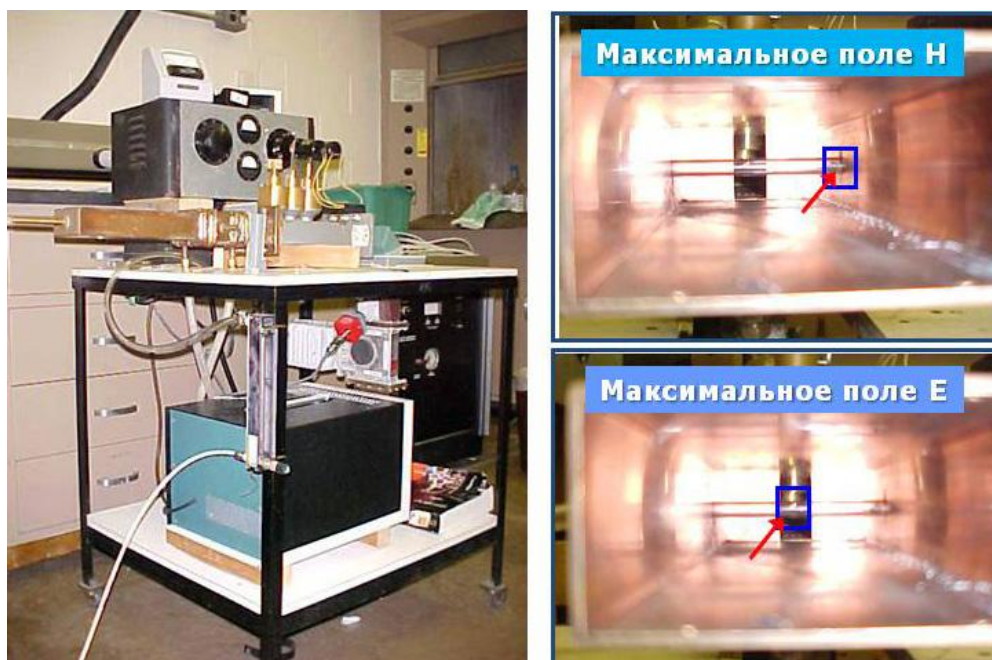


Рис.1. Генератор Р.Ройя (слева) и максимальные поля H и E в волноводе (справа)

Частота генерируемого электромагнитного поля составляет 2.45 ГГц мощность 1.5 кВт. Электромагнитное поле отводится по волноводу в специальную камеру, в которой образуется стоячая волна с максимальным значением компонент E и H в определенных областях, куда и помещаются испытуемые образцы (на рис.1 справа).

1.1 Аморфизация веществ.

Чтобы превратить кристаллические вещества в аморфные в промышленности используются различные технологии. Например, можно превратить кристаллическую сталь в аморфную, для чего достаточно обеспечить ее сверхбыстрое охлаждение. Эта технология дает поверхностную декристаллизацию металла и не позволяет получить аморфную структуру внутри металла. Этим недостатком лишена торсионная аморфизация не только металлов но других кристаллических веществ.

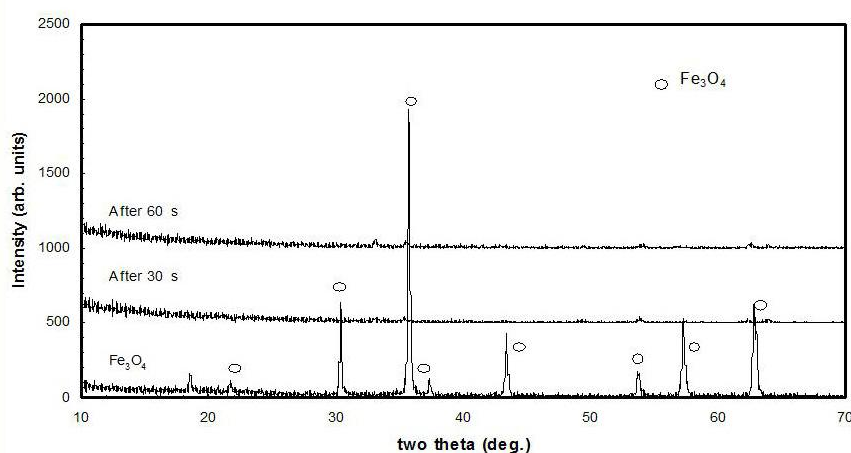


Рис.2. Декристаллизация Fe_3O_4 в магнитном поле генератора Роя. По оси абсцисс отложен двойной угол дифракции θ , а по оси ординат (произвольная) интенсивность излучения

На рис.2 представлены графики дифракции рассеянных рентгеновских лучей, отраженных от параллельных кристаллографических плоскостей в кристаллах Fe_3O_4 . Пики на нижней кривой указывают на существование кристаллической структуры. Через 30 секунд действия на образец поля H (0.5 гаусс) кристалл превращается в аморфное вещество (средняя кривая не имеет дифракционных пиков). Верхняя кривая – то же, но через 60

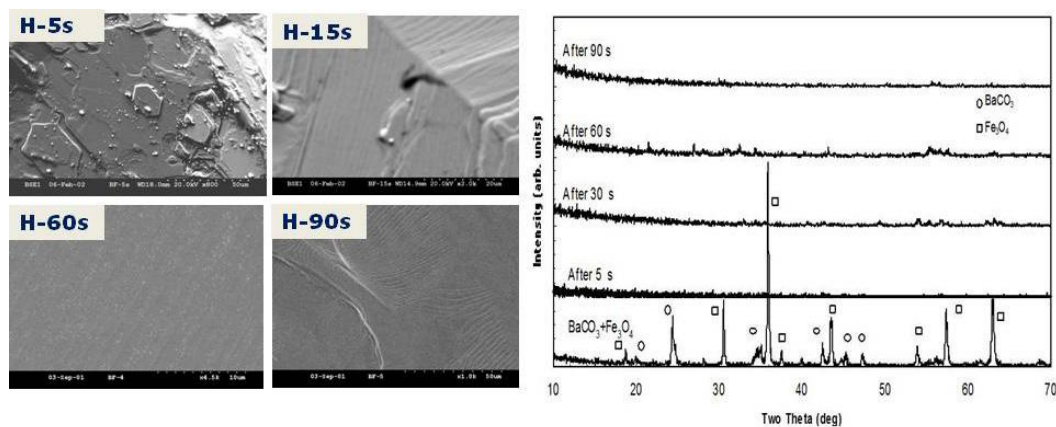


Рис.3. Синтез $BaCO_3 + 4Fe_3O_4$ в феррит бария $BaFe_{12}O_{19}$ и его декристаллизация через 5 сек. после воздействия. Слева срезы образца $BaFe_{12}O_{19}$, справа рентгеновская дифракция секунд.

На рис.3 представлен синтез $BaCO_3 + 4Fe_3O_4$ без плавки через 5 сек после воздействия генератором мощностью всего 750 ватт!

1.2 Изменение магнитных свойств веществ.

На рис. 4 представлены графики изменения магнитных свойств $BaFe_{12}O_{19}$ при воздействии на феррит бария электромагнитного излучения различными способами.

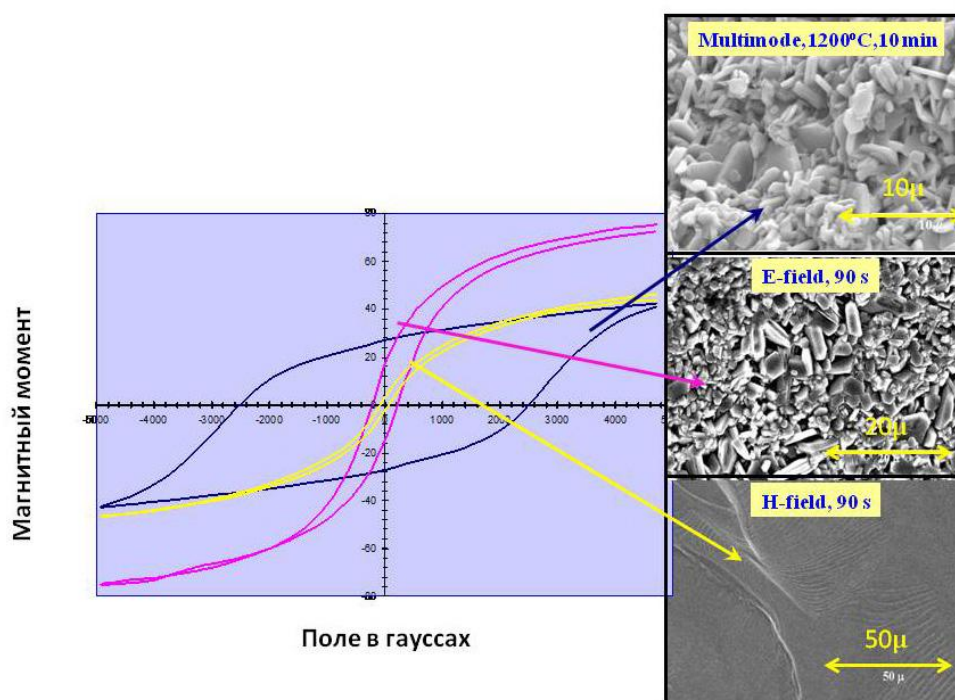


Рис.4 Изменение петли гистерезиса (слева) при различных воздействия электромагнитных полей разного типа (справа)

Синяя кривая получена при воздействии на образец многомодовым излучением в течение 10 мин, при этом образец нагревался до 1200° Цельсия. Пурпурная кривая соответствует воздействию на образец одночастотным полем E в течение 1.5 мин, при этом образец нагревался до 120° Цельсия. Желтая кривая получена в поле H за 1.5 мин, при этом образец почти не нагревался, а его петля гистерезиса соответствует обычному ферромагнетику! Согласно Р. Ройю, основные революционные результаты новой торсионной технологии это: 1) синтез большинства важных керамических материалов за времена в 20 и более раз более короткое, чем при традиционном методе; 2) открытие «энзотермального» процесса, в котором взаимодействуют два материала при различных температурах и который не наблюдался никогда прежде; 3) спекание любых керамических материалов через 3-30 минут; 4) спекание коммерческих инструментов, за время на 90 % меньшее, чем в существующих технологиях; 5) создание нового состояния вещества с широким диапазоном составных частей и декристаллизация веществ в течение нескольких секунд.

Несмотря на эти новые результаты, полученные в академическом институте США, наблюдается полное пренебрежение со стороны академической научной общественности, американской промышленностью, американскими экспертными агентствами.

1.3 Изменение структуры металлов без нагрева.

Канадский исследователь Джон Хатчисон, совершенствуя генератор Тесла, создал источник мощных переменных скалярных полей и, используя резонансные частоты, продемонстрировал воистину фантастические результаты. На рис. 5 на столе, покрытом матерчатой



Рис.5. Образец железа а) до включения генератора; б) через 30 сек после включения

скатертью помещен железный образец. Под столом находится генератор Хатчисона. После включения генератора железный образец начинает терять форму так, как будто он плавится в печи [2]. На рис. 6 представлены образцы, подвергнутые действию генератора Хатчисона при комнатной температуре. Слева представлен кусок алюминия, разрушенный



Рис.6. Разрушенный кусок алюминия а) и стальной нож, «вплавленный» в алюминий б)

скалярным излучением. Справа металлы с различной температурой плавления «вплавлены» друг в друга. Есть образцы, в которых дерево «вплавлено» в металл.

1.4 Технический телекинез и левитация.

Кроме уравнения (2), которое описывает изменение спиновых свойств вещества под действием внешних и внутренних факторов – магнитного поля, звука и спинового излучения, существует уравнение

$$\mu \frac{dv_\alpha}{dt} = \left\{ e\vec{E} + \frac{e}{c}[\vec{v}\vec{H}] \right\}_\alpha + \frac{e}{\mu c} S_\alpha \partial_\beta \left\{ H_\alpha + \frac{c}{2e\rho} \partial_\beta (\rho \partial_\beta S_\alpha) \right\} - \partial_\alpha \left(\frac{\hbar^2}{2\mu} \frac{\Delta\rho}{\rho} + \frac{1}{2\mu} |\nabla\vec{S}|^2 \right), \quad (3)$$

которое описывает движение центра масс заряженных гироскопов под действием тех же факторов. Управляя ими, можно заставить двигаться вещество различной природы (рис.7)



Рис.7. Движение предметов различной природы (стекло, пластик, металл) под действием электромагнитного излучения а); левитация ядра весом 16 кг

нужным нам образом или наблюдать явление левитации [3]. На рис.8 представлены образцы нержавеющей стали, которые стали магнитными после обработки генератором



Рис. 8. Нержавеющая сталь обретает магнитные свойства

Хатчисона. Это явление можно наблюдать в фильме [4].

2. Спин-торсионный резонанс и передвижение тяжелых грузов.

Из уравнения (3) видно, что кроме силы Лоренца на центр масс заряженного квантового гироскопа действуют 4 спин-торсионные силы. Именно эти квантовые силы производят все те аномальные (макро)квантовые явления, которые были рассмотрены выше. Особую роль в этих явлениях играет спин-торсионный резонанс, который описывается уравнением (2). Ядерно-магнитный, протонно-магнитный и электронно-магнитный резонансы и т.д. это все разновидности спин-торсионного резонанса, обеспечивающего наблюдаемую компенсацию силы веса - явление левитации.

Простейший вид левитации наблюдается у сверхпроводников, охлажденных до температуры жидкого водорода. На рис. 9 а) представлена левитация сверхпроводника в

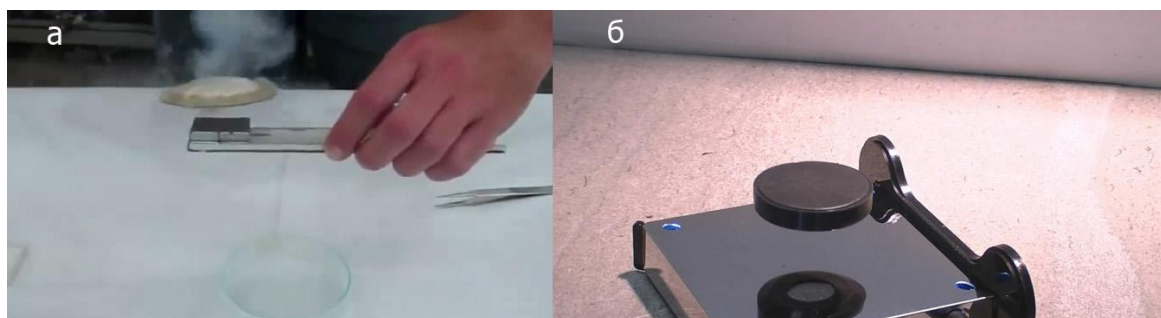


Рис.9. Явление левитации: а) охлажденного сверхпроводника; б) магнита «сибирский Коля» при комнатной температуре.

поле постоянного магнита. Магнит закреплен на подложке, которую исследователь на рис. 9а держит в руке [5]. Справа на рис. 9 представлена левитация магнита при комнатной температуре в поле магнита «сибирский Коля», изобретенного Г.Николаевым [6]. Такое название магниту Николаева дал австрийский физик болгарского происхождения Стефан Маринов. В фильме [7] показан простой способ создания магнита «сибирский Коля» для демонстрации левитации магнита при комнатной температуре. Поскольку диэлектрики так же состоят их заряженных прецессирующих гироскопов, то и они способны зависать

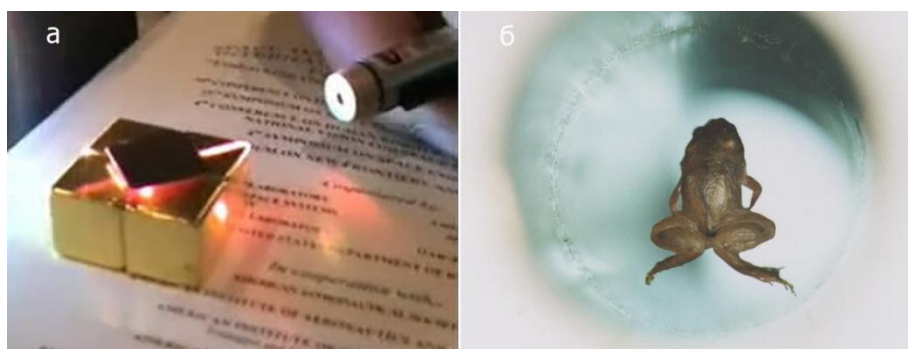


Рис. 11. Левитация немагнитных материалов: а) левитация тонкого пластика в магнитном поле; б) левитация лягушки в магнитно поле напряженностью $H=16$ Тесла (эксперимент А.Гейма)

в магнитном поле. На рис.1 а видна левитация пластиковой пластинки в форме квадрата, толщиной 1мм. Справа сверху находится лазер, который осуществляет подсветку между магнитами и пластинкой, чтобы показать, что она левитирует. На рис.11 б представлен эксперимент лауреата Нобелевской премии Андрея Гейма, за который он получил (шуточную) «шнобелевскую» премию. Эксперимент показывает, что в магнитном поле напряженностью $H=16$ Тесла лягушка левитирует, хотя и не является ферромагнетиком [8]. Мы рассмотрели левитацию в постоянном магнитном поле. Однако наиболее эффектным является потеря веса в переменных электромагнитных полях, когда выполняются условия спин-торсионного резонанса. В этом случае теряют вес совершенно разнородные вещества. Достаточно, чтобы резонансные частоты этих веществ либо совпадали, либо близки друг другу. На рис.12 представлена установка, представляющая собой реплику генератора Хатчисона. На левой части рис.12 видна катушка, изготовленная из латунного провода большого сечения. Это обеспечивает создание на рабочей площадке внутри катушки пере-

страиваемых магнитных полей. Выбирая нужную частоту и мощность электромагнитного поля можно заставить левитировать различные предметы. На рис.12. б в картонном ящике



Рис.12. Различные предметы в установке Хатчисона: а) перекрученные и левитирующие ложки из нержавеющей стали; б) левитирующие предметы различной природы

расположены металлические предметы, мяч для тенниса, пластиковая игрушка. При включении установки все эти предметы начинают левитировать, поднимаясь над поверхностью дна на различную высоту[9].

2.1 Перемещение грузов с использованием звука.

Уравнение (3) содержит спин-торсионную силу, которая порождается звуковым воздействием на вещество и, при определенных условиях, вполне может компенсировать силу веса этого вещества. На рис. 13 а) показана звуковая левитация неньютоновской жидкости ж(например, смеси воды и крахмала), которую можно посмотреть в фильме [10].

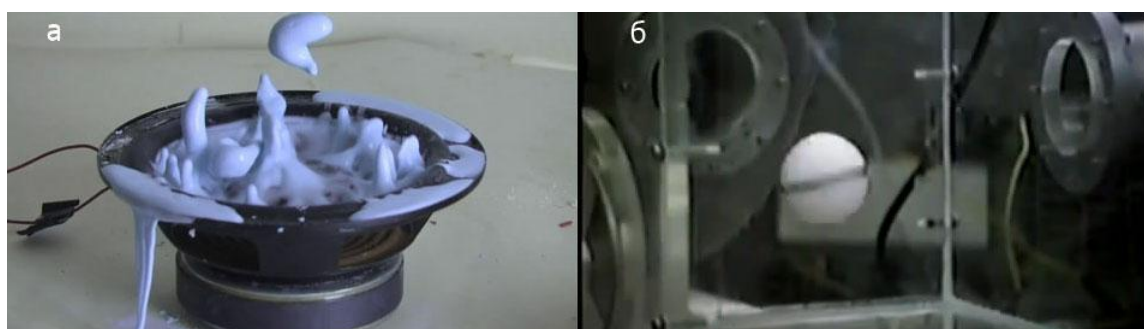


Рис.13. Звуковая левитация: а) неньютоновской жидкости в звуковом динамике; б) шарика для пинг-понга, наполненного песком

В настоящее время ведутся исследования, которые позволяют получить звуковую левитацию твердых тел [11]. На рис. 13 б) показана звуковая левитация пластмассового шарика, наполненного песком общей массой около 60 гр. В этих экспериментах потерю веса невозможно объяснить звуковым давлением, поскольку не выполняется закон сохранения

энергии. Вообще говоря, почти все эксперименты, в которых наблюдаются спин-торсионные взаимодействия, демонстрируют нарушение законов сохранения, если проводить расчеты методами обычной физики. Например, в 1939 г. доктор Джарл (Jarl) из Швеции снял в Тибете фильм о левитации, который затем был конфискован организацией, на которую он работал, и засекречен. По рассказам Джарла восстановлены события, отснятые в фильме. На рис. 14 схематически показано как тибетские монахи, используя звуковые инструменты, поднимают камень весом 4 тонны на высоту 250 м [12], совершая при этом работу порядка 10 миллионов джоулей. Расчеты по формулам обычной теории звука дают энергию, создаваемую монахами, всего лишь 2 джоуля!

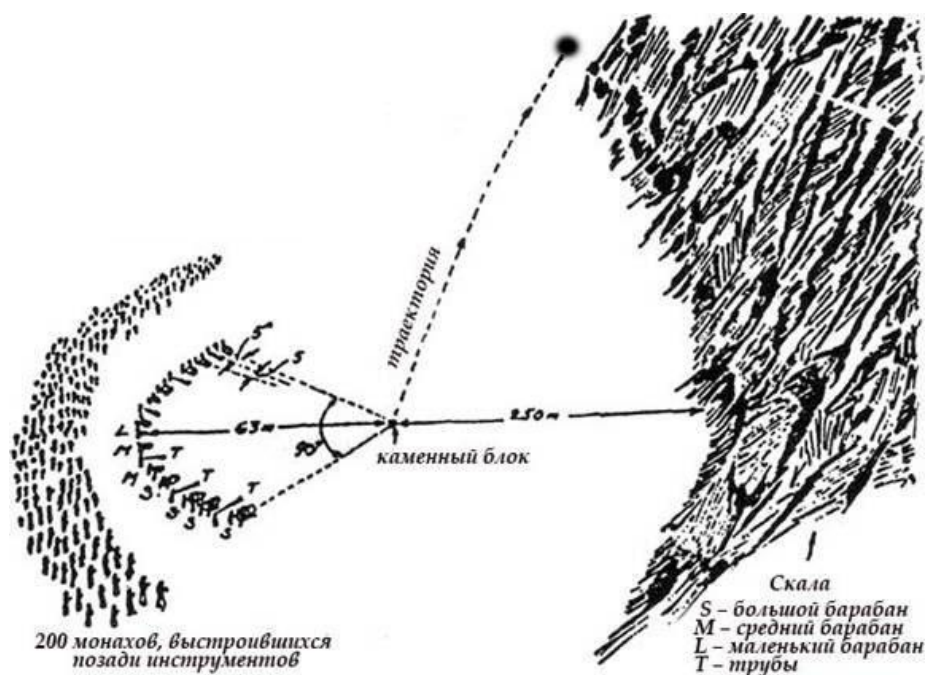


Рис. 14. Тибетские монахи, с помощью музыкальных экспериментов, поднимают камень весом 4 тонны на высоту 250 метров.

В США во Флориде построен Коралловый замок из коралловых глыб общим весом 1100 тонн всего лишь одним человеком - Эдвардом Лидскалником, при этом Эдвард имел рост 152 см. и весил 44 кг [13]. Он утверждал, что раскрыл секрет строительства египетских пирамид. Работал он, в основном, по ночам и соседи видели, как блоки в несколько тонн как бы сами собой плыли по воздуху. Похоже, что настало время, когда спин-торсионные технологии позволят нам осуществлять строительные работы методами, которые существовали на Земле тысячелетия назад.

3. Спин-торсионная психофизика.

Человеческое тело, так же как и любой другой физический объект, состоит из гироскопических систем, подчиняющихся уравнениям (2) и (3). Но, в отличие от объектов неживой природы, человек обладает высоким Сознанием. Под Сознанием человека мы будем понимать спин-торсионные (т.е. квантовые) поля, связанные с его физическим телом, совокупность которых обычно называют *аурой*. Управляя аурой, человек способен воздействовать на окружающие физические объекты. Для изучения влияния Сознания человека на

окружающий его мир была создана наука *психофизика*, которую ортодоксальная материалистическая физика старается не замечать в силу того, что не имеет теоретического подхода для изучения наблюдаемых психофизических явлений.

Одним из приборов, способным измерять ауру человека, является томограф, в основу работы которого положено явление ядерного магнитного резонанса (ЯМР резонанс). Томограф, как известно, воспринимает «спиновое эхо» от различных частей человеческого тела

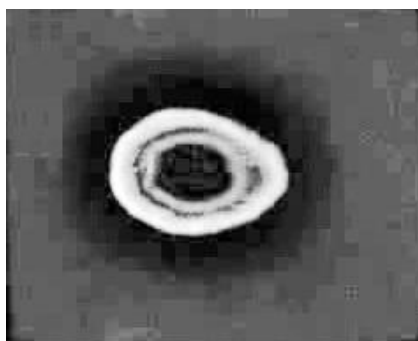


Рис.15. Томографический снимок ауры (темный ореол) головы человека

и преобразует его в видимое изображение. На рис.15 представлена фотография с экрана компьютера, на который подается томографическое изображение верхней части головы человека. На этом изображении отчетливо видно, что за пределами физического тела существует спин-торсионная аура, которую фиксирует ЯМР томограф.

3.1 Психофизический телекинез.

В фильме [4] показан технический телекинез, производимый генератором Хатчисона. Тоже самое может делать, в той или иной степени, любой человек, поскольку его физическое тело и Сознание представляют собой совершеннейший генератор и приемник спин-торсионных полей. Управляя Сознанием, человек может двигать предметы (см. рис. 16) ,

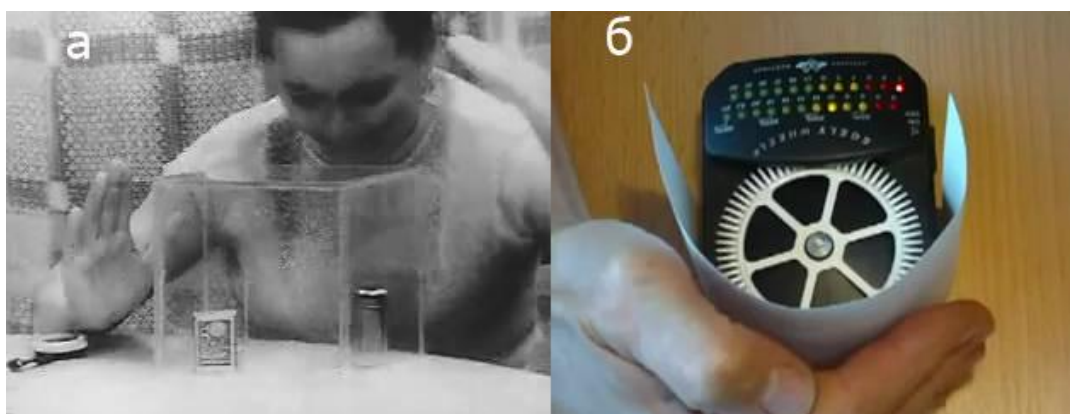


Рис.16. Телекинез: а) Нинель Кулагина двигает спичечный коробок и металлический футляр, закрытые коробом из оргстекла [14]; б) колесо Эгели вращается по направлению вытянутых пальцев правой руки

не прикасаясь к ним. В 1989 г. мы с Анатолием Евгеньевичем Акимовым, будучи в Венгрии, познакомились с замечательным ученым Георгом Эгели (George Egely). Этот человек изобрел прибор для измерения жизненных сил человека (vitality meter). Прибор представляет собой легкое колесо с зубчиками, изготовленное из тонкой фольги (см. рис. 15 б). Колесо опирается на иглу и может свободно вращаться на игле, которая встроена в корпус прибора. Когда любой человек ставит руку (неважно, правую или левую) вблизи колеса, то оно начинает вращаться по направлению вытянутых пальцев, при этом зубчики колеса пересекают световой счетчик оборотов и по его показаниям определяется величина жизненных сил человека [15]. На рис. 15 б) между рукой и колесом проложена бумага, чтобы исключить влияние тепловых потоков от руки. Конечно, разные люди обладают различными способностями к телекинезу. В фильме [16] показан телекинез на расстоянии 1-1.5 метра, при этом бумажная фигура, на которую производилось воздействие, была накрыта стеклянным колпаком. Китайский экстрасенс Джон Чанг способен двигать предметы, находясь от них на расстоянии 5-6 метров [17], другие могут вызывать движение предметов в закрытой и наполненной водой пластиковой бутылке [18].

3.2 Био(анти)гравитация.

Это психофизическое явление демонстрирует способность человеческого тела притягивать (или отталкивать) предметы различной физической природы. Как-то летом, после просмотра ТВ передачи о явлении биогравитации, я попробовал притягивать столовые ложки, повесив их на грудь, и



Рис. 17. Этибар Элчиев человек-«магнит»: а) удерживает на теле 50 столовых предметов; б) притягивает телом автомобильный капот весом 14 кг, на котором сидит человек, весом 90 кг

у меня получилось. Гораздо более эффектно это явление может продемонстрировать житель Грузии Этибар Элчиев [19]. На рис. 17 б) Элчиев притягивает телом груз весом 104 кг. Он говорит, что специально не тренируется, поскольку эта способность дана ему от природы, и что это же могут делать все его близкие родственники.

Управляя сознательно своей аурой, человек способен не только отталкивать предметы, но и притягивать их. На рис. 18 а) Сергей Михайлов сначала притягивает два предмета, затем отталкивает нижний предмет, оставляя висеть верхний [20].

Наше тело способно притягивать не только металлические изделия, но и предметы, изготовленные из стекла, фарфора, мрамора, дерева и т.д. На рис. 18 б) Михаил Васильев

демонстрирует притяжение телом бревна, весом порядка 30 кг. Все это происходило на программе «Минута славы» и его выступление видели миллионы телезрителей [21].



Рис.18. Демонстрация био(анти)гравитации: а) Сергей Михайлов сперва притягивает телом два предмета, затем отталкивает нижний предмет, оставляя висеть верхний; б) Михаил Васильев, выступая на программе «Минута славы», притягивает бревно, весом 30 кг

Сергей, сам имея вес не более 60 кг, притягивает грудью сразу две плиты, (одна мраморная, другая стеклянная), общим весом 50 кг. В 90-е годы я познакомился в г. Пенза с Анатолием Антиповым, который притягивал своим телом три металлические плиты общим весом 160 кг, которые «прилипали» к его телу последовательно одна за другой. Ни одна из общепринятых физических теорий не в состоянии объяснить это явление [22]. Согласно теории Физического Вакуума, в этом случае, как и в других явлениях психофизики, мы наблюдаем взаимодействие сложных гироскопических систем, из которых состоят все объекты, включая человека.

3.3 Пирокинез.

Для проверки психофизических возможностей Нинель Кулагиной в АН ССР была создана комиссия, в состав которой входили 10 академиков и один очень известный экспериментатор. Когда эксперименты закончились, то был составлен акт о существовании неизвестных науке психофизических явлений, при этом акт был подписан всеми академиками и лишь экспериментатор отказался подписывать документ. Тогда Н.Кулагина попросила экспериментатора протянуть руку, над которой на расстоянии 2-3 см. она поместила ладонь своей руки. Через 5 сек экспериментатор резко отдернул руку, а еще через некоторое время на его руке образовался волдырь, который обычно появляется при ожоге. После этого экспериментатору ничего ни оставалось делать, как подписать акт о результатах исследования.

У некоторых людей существует способность поджигать легко воспламеняемые вещества не прикасаясь к ним. По их рассказам, для этого они мысленно сосредотачивались на объекте, после чего выбранный объект воспламенялся. В фильме, показанном по телепрограмме ТНТ [23], Михаил Радуга рассказывает и показывает, как это делается. Польский подросток Давид Василевский демонстрирует это явление, поджигая спичку [24].



Рис.18. Демонстрация пирокинеза: а) Михаил Радуга поджигает свернутую слева на подставке салфетку; б) Давид Василевский поджигает спичку

Аура человека очень подвижна и может менять свою форму. Ее можно «сфокусировать» на каком-то предмете, заставив его двигаться или подвергнуть его пирокинезу. В серии фильмов [25-29] показаны различные проявления пирокинеза и довольно подробно рассказано о технических приемах по его демонстрации.

3.4 Биоинтроскопия.

Способность человека видеть сквозь препятствия или с закрытыми глазами была названа биоинтроскопией [30]. В эзотерической литературе это явление связывают с открытием у людей «третьего глаза». Такие люди получают способность «видеть» сквозь материальные среды, например, сквозь ткани человеческого тела, или видеть ауру других людей. Врач и исследователь А.Г. Родионов в течение 40 лет занимался изучением этого явления и пришел к выводу, что, в принципе, можно научить «видеть» любого человека. Консультируя сборную Олимпийскую команду по гимнастике, А.Г. Родионов проводил эксперименты по биоинтроскопии (так было названо новое направление биологических исследований), обучая молодых девушек внутривидению. На рис. 19 схематически представлена процедура биоинтроскопии ауры, энергетических центров (чакр) и каналов человека.

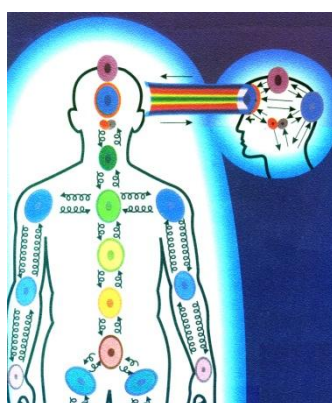


Рис. 19. Структура энергетических центров и каналов человека, наблюдаемых с помощью метода биоинтроскопии по данным А.Г.Родионова

Метод биоинтроскопии практически использовался для обнаружения травм у спортсменов (см. рис. 20), при этом в качестве независимого контроля за внутривидением исследователи применяли рентгеновские снимки травмированных органов.

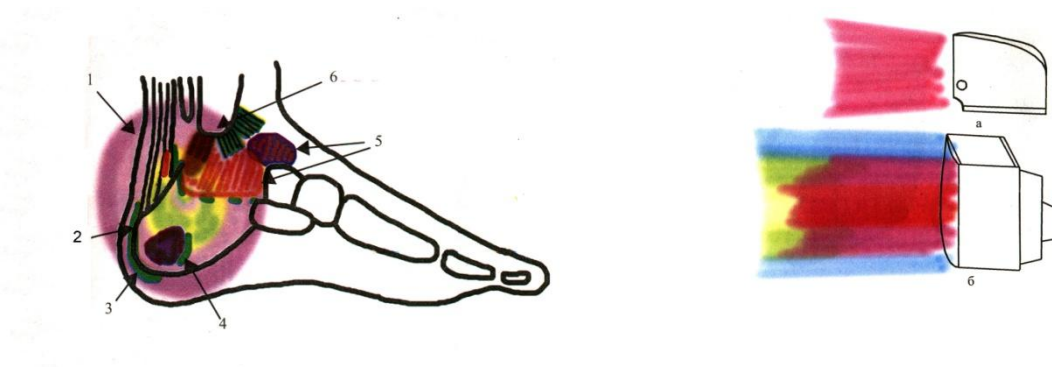


Рис. 20. Слева биоинтроскопия травмы стопы у О.Ш., 11 лет (04.09.1995 г.), сделанная учеником А. Радионова; справа – биоинтроскопия спин-торсионного излучения черно-белого (верху) и цветного (внизу) телевизоров.

Я лично участвовал в некоторых экспериментах по биоинтроскопии [31], но всегда, когда я делал доклады перед научной аудиторией на эту тему, реакция была отрицательной. Почему то это явление воспринималось как жульничество со стороны испытуемых. Поэтому, когда в экспериментах участвуют дети, то это обескураживает оппонентов и речь даже заходит о выдаче адептам этого метода Нобелевской премии [32].

3.5 Изменение веса человека в состоянии медитации (левитация).

Во многих религиозных конфессиях и, особенно, в философских трактатах древнего Востока существуют свидетельства о полетах святых и продвинутых индийских йогов [33]. В американском отделении института Трансцендентальной Медитации Махариш Махеш Йоги уже много лет осуществляется научный подход к изучению явления левитации. На рис. 21 слева представлен полет йога во время йоговских прыжков, которые представляют собой первую стадию обучения левитации. Левитации предшествует трансцендентальная

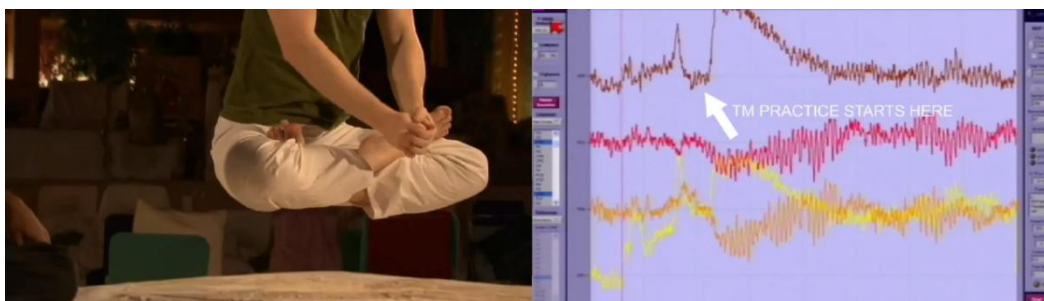


Рис. 21. Слева левитационное зависание американского йога; справа изменение α , β и γ ритмов головного мозга йога во время левитации

медитация (ТМ), которая контролируется измерениями α , β и γ ритмов головного мозга. На рис. 21 справа представлена запись, на которой видно, что в начале левитации идет значительное изменение этих ритмов. Это означает, что причиной левитации является Сознание человека (его аура). В этом явлении очевидно нарушение законов как теории гравитации Ньютона, так и теории гравитации Эйнштейна [34]. Тем не менее, наблюдаемое явление носит физическую природу [35]. На рис.22 показаны результаты изменения веса медитирующего йога, сидящего на весах, показание которых можно увидеть на экране проектора. Горизонтальная линия на экране соответствует



Рис. 22. Слева медитирующий йог сидит на весах; справа показания весов, выведенные на экран проектора

весу йога без медитации. Из полученного графика видно, что вначале медитации вес йога равен его весу в нормальном состоянии. Затем, вес уменьшается и через 4 сек оказывается на 10 кг меньше. Потом, в течение следующих 3 сек, вес йога становится на 10 кг больше первоначального. Далее, в течение 30 сек вес медленно возвращается к исходному состоянию. В следующие 2 сек вес уменьшается на 12 кг, держится 1 сек, а, затем, быстро за 1.5 сек увеличивается примерно на 14 кг. Как видим, испытуемый йог показывает попеременное уменьшение и увеличение веса, увеличивая амплитуду его изменения.

Теория Физического Вакуума дает следующее объяснение явлению левитации. В первой части настоящей работы мы показали, что прецессия гироскопа вызывает изменение его веса. Поскольку тело йога состоит из огромного числа гироскопов, которыми он способен управлять с помощью своего Сознания, то, управляя прецессией, йог способен создать такой гироскопический эффект, который, либо уменьшает вес, либо полностью его компенсирует.

Продолжение следует.

21.01.2013.

Литература

1. *Рустем Рой*// http://en.wikipedia.org/wiki/Rustum_Roy .
2. *Хатчисон Дж.*// <http://www.youtube.com/watch?v=4-YwbgXpnkA> .
3. *Хатчисон Дж.*// http://www.youtube.com/watch?v=vO-1l0lXR_U .

4. Хатчисон Дж. // http://www.youtube.com/watch?v=Gf_z2QFQxLk
5. Университет Тель-Авив // <http://www.youtube.com/watch?v=8UEk19ZShFw>
6. Николаев Г.В. // Скалярное магнитное поле. Томск. 1997. С. 23. 7.
7. Магнит «сибирский Коля» // <http://www.youtube.com/watch?v=RvA01tpI0R8>
8. Левитирующая лягушка // http://www.youtube.com/watch?v=-EVMOp59J_c
9. Реплика установки Хатчисона // <http://www.youtube.com/watch?v=pPU9dneUrY>
10. Звуковая левитация жидкости // <http://www.youtube.com/watch?v=3zoTKXXNQUIU>
11. Звуковая левитация // <http://www.youtube.com/watch?v=94KzmB2bl7s>
12. Монахи // http://www.voicemaster.ru/article/index.php?id_article=36&id_page=
13. Коралловый замок // <http://www.youtube.com/watch?v=61AWCZLBNMw>
14. Нинель Кулагина // <http://www.youtube.com/watch?v=w8YgC77XzDs>
15. Колесо Эгели // <http://www.youtube.com/watch?v=K0Oiiikyfs4Q>
16. Телекинез под стеклом // <http://www.youtube.com/watch?v=H5NwRfMJgOQ>
17. Чанг Дж. Телекинез // <http://www.youtube.com/watch?v=gAjpKKCAib4>
18. Телекинез в бутылке // <http://www.youtube.com/watch?v=gQHCcuqyXuY>
19. Этибар Элчиев // <http://www.youtube.com/watch?v=pVztwZxaM74>
20. Сергей Михайлов // <http://www.youtube.com/watch?v=cQtp5M9BjYQ>
21. Михаил Васильев // <http://www.youtube.com/watch?v=T8x9XWeOws>
22. Александр Наговицин // <http://www.youtube.com/watch?v=VuGXm95Fuho>
23. Михаил Радуга // http://www.youtube.com/watch?v=2jyZVYUD_k0
24. Давид Василевский // <http://www.youtube.com/watch?v=RIInh8NMudw>
25. Пирокинез часть 1 // http://www.youtube.com/watch?v=Znh_VcwQWok
26. Пирокинез часть 2 // <http://www.youtube.com/watch?v=5ZkfqQH7uU8>
27. Пирокинез часть 3 // <http://www.youtube.com/watch?v=pGBhPvIDC8E>
28. Пирокинез часть 4 // <http://www.youtube.com/watch?v=omFYRarjwRE>
29. Пирокинез часть 5 // <http://www.youtube.com/watch?v=pE4e4bxsTIg>
30. Родионов А.Г. // Экспериментальная биоинтроскопия, Изд-во Воронежского ун-та, 1999.
31. Шипов Г.И. // http://www.youtube.com/watch?v=YRi51FbS_FE
32. Епифанов П.Д. // http://www.youtube.com/watch?v=IHZ_NXSvf00
33. Летящие йоги // http://www.youtube.com/watch?v=0z7TM_98Lcl
34. Джон Хагелин // <http://www.youtube.com/watch?v=BAxXS-PMSDo>
35. Высокие прыжки // http://www.youtube.com/watch?v=ZO8HI884_zl